### (12) NACH DEM VERTRAG ÜBER DIE INTERNATIONALE ZUSAMMENARBEIT AUF DEM GEBIET DES PATENTWESENS (PCT) VERÖFFENTLICHTE INTERNATIONALE ANMELDUNG

(19) Weltorganisation für geistiges Eigentum Internationales Büro



# 

(43) Internationales Veröffentlichungsdatum 23. Oktober 2003 (23.10.2003)

PCT

## (10) Internationale Veröffentlichungsnummer WO 03/088574 A1

(51) Internationale Patentklassifikation7: H04B 3/46, G01R 31/00

H04L 12/26,

[DE/AT]; Eipeldauerstr. 38/27/8, A-1220 Wien (AT). AHRNDT, Thomas [DE/DE]; Karl-Birzer-Str. 2, 85521 Ottobrunn (DE). SCHÜSZLER, Bert [AT/AT]; Ahornweg 3, A-1220 Wien (AT).

(21) Internationales Aktenzeichen:

(22) Internationales Anmeldedatum:

PCT/EP03/03930

15. April 2003 (15.04.2003)

(74) Gemeinsamer Vertreter: SIEMENS AKTIENGE-SELLSCHAFT; Postfach 22 16 34, 80506 München (DE).

(25) Einreichungssprache:

Deutsch

(26) Veröffentlichungssprache:

Deutsch

(30) Angaben zur Priorität:

02008552.8

16. April 2002 (16.04.2002) EP

(84) Bestimmungsstaaten (regional): europäisches Patent (AT, BE, BG, CH, CY, CZ, DE, DK, EE, ES, FI, FR, GB, GR, HU, IE, IT, LU, MC, NL, PT, RO, SE, SI, SK, TR).

(71) Anmelder (für alle Bestimmungsstaaten mit Ausnahme von US): SIEMENS AKTIENGESELLSCHAFT [DE/DE];

Wittelsbacherplatz 2, 80333 München (DE).

Veröffentlicht:

mit internationalem Recherchenbericht

(81) Bestimmungsstaaten (national): CN, US.

(72) Erfinder; und

(75) Erfinder/Anmelder (nur für US): KOZEK, Werner

Zur Erklärung der Zweibuchstaben-Codes und der anderen Abkürzungen wird auf die Erklärungen ("Guidance Notes on Codes and Abbreviations") am Anfang jeder regulären Ausgabe der PCT-Gazette verwiesen.

(54) Title: METHOD FOR TESTING SUBSCRIBER CONNECTION LINES FOR BROADBAND SERVICES

(54) Bezeichnung: VERFAHREN ZUM TESTEN VON TEILNEHMERANSCHLUSSLEITUNGEN FÜR BRAEITBAND-DIENSTE

(57) Abstract: The invention relates to a method for pre-qualifying subscriber connection lines for broadband services. According to said method, a mathematical characterisation of the physical behaviour of the subscriber connection line is obtained by applying a signal to the subscriber connection line to be tested and the output signal is then observed. Conclusions concerning relevant parameters of the subscriber connection line are inferred from said mathematical characterisation with the help of classical physical models. A combined time-frequency representation, the Weil transformation according to "A. Weil, Basic Number Theory, Grundlehren der mathematischen Wissenschaften, Bd. 144, Springer 1985", is used to obtain a statistically solid estimation of the aforementioned mathematical characterisation.

(57) Zusammenfassung: Die Erfindung betrifft ein Verfahren zur Vorqualifizierung von Teilnehmeranschlussleitungen für Breitbanddienste mittels dem nach Anlegen eines Signals an die zu testende Teilnehmeranschlussleitung durch Beobachtung des Ausgangssignales eine mathematische Charakterisierung des physikalischen Verhaltens der Teilnehmeranschlussleitung erreicht wird. Ausgehend von dieser mathematischen Charakterisierung wird dann mit Hilfe von klassischen physikalischen Modellen auf relevante Parameter der Teilnehmeranschlussleitung zurückgeschlossen. Zur statistisch robusten Schätzung der genannten mathematischen Charakterisierung wird eine kombinierte Zeit-Frequenz-Darstellung verwendet, die Weil-Transformation gemäß "A. Weil, Basic Number Theory, Grundlehren der mathematischen Wissenschaften, Bd. 144, Springer 1985".

WO 03/088574



VERFAHREN ZUM TESTEN VON TEILNEHMERANSCHLUSSLEITUNGEN FÜR BRAEITBANDDIENSTE

Verfahren zur Vorqualifizierung von Teilnehmeranschlussleitungen für Breitbanddienste

Die Erfindung betrifft ein Verfahren zur Vorqualifizierung von Teilnehmeranschlussleitungen für Breitbanddienste.

Die breitbandige Datenübertragung über die Kupferdoppelader der Teilnehmeranschlussleitungen des klassischen Telefonnetzes, insbesondere ADSL (asymmetrical digital subscriber line), gewinnt zunehmend an Bedeutung.

Gemeinsames Kennzeichen aller standardisierten xDSL-Dienste (ADSL, SDSL, SHDSL, VDSL) ist die Ausdehnung des genutzten Frequenzbereichs weg von der Sprachbandbreite (4Khz) bis hinein in Bereiche von über 1 MHz.

Da das Telefonnetz nicht für diesen Frequenzbereich konzipiert ist, basieren diese Dienste auf Ratenadaptivität der Übertragungsverfahren, d.h. die erzielbare Nutzdatenrate hängt jeweils von den technisch-physikalischen Gegebenheiten des individuellen Teilnehmeranschlusses ab.

Haupteinflussgrössen sind dabei die Leitungslänge, der Leitungstyp und gegebenenfalls elektromagnetisch eingestreute Störungen; aber auch Stückelungen, nicht-fachgerechte Hausverkabelungen, defekte Endgeräte, offene Stichleitungen und Nebensprechen, wenn in einem Kabelbündel zahlreiche xDSL-Dienste aufgeschaltet sind, verringern die möglichen Datenraten.

Die nicht vorhersagbare Leistung (Datenrate) der
Breitbanddienste bedeutet für die Anbieter dieser Dienste ein
hohes Erstinstallationsrisiko, so z.B. wenn der Anbieter bei
der Installation eines derartigen Anschlusses finanzielle
Aufwendungen auf sich nimmt, die er über
Internetnutzungsgebühren zu erwirtschaften

2

beabsichtigt (Gratis-PC mit ADSL-Modem). Aber auch bei weniger riskanten Geschäftsmodellen kann eine Abschätzung der möglichen Datenrate eines Breitbanddienstes jedenfalls Servicekosten reduzieren bzw. die generelle Kundenakzeptanz der XDSL-Technologie verbessern.

Bekannte Testverfahren für Teilnehmeranschlussleitungen wie die sogenannte Zeit-Bereichsreflektometrie (kurz TDR für time-domain reflectometry) zum einseitigen, messtechnischen Test von Nachrichtenkabeln, wurden für die Sprachbandbreite entwickelt und sind daher nur bedingt zur Vorqualifizierung für xDSL-Dienste geeignet.

Beim TDR-Verfahren wird ein kurzer (und damit relativ

breitbandiger) Spannungspuls an das Adernpaar angelegt und
die Verzögerung des Echos gemessen. Bei bekannter
Ausbreitungsgeschwindigkeit des Signales kann daraus direkt
die Kabellänge ermittelt werden. Durch periodische
Wiederholung der Messung und Oszilloskopie können von gut
ausgebildeten Fachleuten auch Stückelungen, offene
Stichleitungen und ähnliche, die Datenrate beeinflussende
Störquellen erkannt werden. Diese Methode erfordert den
Einsatz von gut geschultem Personal und ist damit aufwendig
und kostenintensiv.

25

30

10

Der Erfindung liegt daher die Aufgabe zugrunde, ein Verfahren anzugeben, das mit geringem Aufwand die Vorqualifizierung einer Teilnehmeranschlussleitungen für Breitbanddienste und damit die genaue Vorhersage der erzielbaren Datenrate eines Breitbanddienstes erlaubt. Wesentlich ist es dabei, dass es das Verfahren erlaubt, die Teilnehmeranschlussleitungen einseitig vom Amt aus zu messen.

Gelöst wird diese Aufgabe mit dem erfindungsgemäßen Verfahren 35 nach Anspruch 1.

Die Erfindung wird anhand eines Beispieles näher erläutert:

Kern des erfindungsgemäßen Verfahrens ist ein Systemidentifikationsalgorithmus mittels dem nach Anlegen eines
Signals an die zu testende Teilnehmeranschlussleitung durch
Beobachtung des Ausgangssignales eine mathematische
Charakterisierung des physikalischen Verhaltens der
Teilnehmeranschlussleitung erreicht wird.

- 10 Ausgehend von dieser mathematischen Charakterisierung wird dann mit Hilfe von klassischen physikalischen Modellen auf relevante Parameter der Teilnehmeranschlussleitung zurückgeschlossen.
- Zur statistisch robusten Schätzung der genannten mathematischen Charakterisierung wird eine kombinierte Zeit-Frequenz-Darstellung verwendet, die Weil-Transformation gemäß "A. Weil, Basic Number Theory, Grundlehren der mathematischen Wissenschaften, Bd. 144, Springer 1985".

Im folgenden wird das erfindungsgemäße Verfahren im Detail beschrieben:

Es wird ein zeitdiskretes Multiträger-Zufallssignal als Testsignal ausgesendet. Dieses ist wie folgt aufgebaut:

25

20

$$s(n) = \sum_{k=0}^{M} \sum_{l=0}^{N} c_{k,l} g(n - lN_{\tau}) \exp\left(j2\pi \frac{nk}{M_{F}}\right)$$

mit folgenden Variablen:

- 30 n ...... der Zeitindex (korrespondiert zum Sendetakt)
  - s(n) .......die Abtastwerte des Testsignals (im Sendetakt)
  - k .....der Symbolindex (korrespondiert zum Symboltakt)

l	der	Trägerindex	(korrespondiert	zum	Trägerfrequenz-
al	ostand)				

Die stochastische Innovation des Sendesignals rührt ausschliesslich von den komplexwertigen Zufallskoeffizienten  $\mathcal{C}_{kJ}$  her. Folgende Statistik wird dabei angestrebt :

$$E\{c_{k,l}\overline{c}_{m,n}\} = \sigma^2(k)\delta_{k,m}\delta_{l,n}$$

d.h. die Koeffizienten sind unkorreliert und ihre Varianz hängt ausschliesslich vom Trägerindex ab ( $\delta_{{}^{k,m}}$ ist hierbei das

20 Kroneckersche Delta-Symbol, und  $\overline{C}_{m,n}$  ist die komplex

konjugiert Zahl von  ${\cal C}_{m,n}$ ).

Eine weitere, in Zusammenhang mit Basisband-Multiträgermodulation durchaus übliche Bedingung ist die hermitesche Symmetrie der Koeffizienten:

$$c_{k,l} = \overline{c}_{M_F - k,l} \qquad ,$$

Dadurch ist sichergestellt dass das Sendesignal reellwertig ist. Glg.(2) kann näherungsweise durch einen üblichen

30 Pseudozufallszahlengenerator (wie z.B. in W.H. Press, B.P. Flannery, S.A. Teukolsky, W.T. Vetterling, "Numerical Recipes

5

in C", Cambridge University Press, Cambridge 1993. und entsprechende Gewichtung gewonnen werden.

Sofern die Periode des Pseudozufallsgenerator grösser ist als die Messperiode, kann man das Sendesignal als Realisierung eines zyklostationären Zufallsprozesses betrachten. D.h. im Gegensatz zur klassischen Zeitbereichsreflektometrie ist das Signal nicht strikt periodisch (nur in seinen statistischen Eigenschaften gibt es Periodizität).

Andererseits ist das Testsignal auch kein Spezialfall
üblicher Multiträgersignale (wie sie in der Trainigsphase von
ADSL-Modems verwendet werden) die entweder einen zyklischen
Präfix bzw. orthogonale Pulsformen gemäß S.D. Sandberg and
M.A. Tzannes, "Overlapped discrete multitone modulation for
high speed copper wire", IEEE Journal Selected Areaes of
Communications, Vol.13, No. 9, Dec. 1995. verwenden.

Charakteristischer Bestandteil der Erfindung ist die
Verwendung einer relativ langen (3-5 mal die Symbollänge
überspannenden) gut frequenzlokalisierten
Fensterfunktion, zusammen mit der Bedingung

$$M_F = KN_T$$
,

(5)

25 sodass letztendlich ein nichtorthogonales, übervollständiges Funktionensystem entsteht.

Dies ist unterschiedlich zu dem Ansatz von W. Kozek und A.F. Molisch, "Nonorthogonal pulseshapes for multicarrier communications in doubly dispersive channels", Oct. 1998, IEEE J. Select. Areas Comm., Vol.16, No. 8, pp.1579-1589. Bei dem ein nichtorthogonales, aber unvollständiges Funktionensystem für die Multiträgerübertragung vorgeschlagen wird.)

6

Insbesondere bedeutet es, dass die Redundanz des Sendesignals gewissermassen über Zeit- und Frequenzrichtung verschmiert ist. Solche Funktionensysteme sind lediglich bekannt aus der Signalanalyse, die Anwendung zur Synthese eines teilredundanten Pseudozufallssignals allerdings neu und erfinderisch. Dieses erfindungsgemäße Sendesignal bietet folgende Vorteile:

Die Messbandbreite kann flexibel gestaltet werden, d.h. es

können zum Beispiel die POTS-Bänder (also der für klassische
Telefonie benötigte Frequenzbereich ausgeblende: werden
(notwendig für die Integration im
Breitbandanschlussmultiplexer bei ADSL). Dies ist ein klarer
Vorteil gegenüber W.W. Jones, "Sequence Time Domain

Reflectometry (STDR) For Digital Subscriber Line Provisioning
and Diagnostics", White Paper, Mindspeed Technologies TM, wo
ein sich von der Gleichspannung beginnender Frequenzbereich
verwendet wird.

Die verfügbare Messbandbreite kann wesentlich besser ausgenutzt werden. Die Empfindlichkeit gegenüber Pulsstörungen ist geringer. Bei nicht streng synchroner Sende- und Empfangssignalabtastung kann der Frequenzoffset explizit kompensiert werden.

25

Durch Phasenmittelung kann man den zyklostationären Prozess auf einen stationären Prozess abbilden. Das

Leistungsdichtespektrum  $S_{\mathfrak{s}}(f)$  des phasengemittelten Testsignals hängt von der Leistungsverteilung auf den Trägern

30 ab (durch  $\sigma(k)$  festgelegt) und der Wahl des Pulses g(n):

$$S_{s}(f) = \sum_{k=0}^{M_{F}-1} \sigma^{2}(k) \left| G \left( f - \frac{1}{T} \left( k - \frac{M_{F}-1}{2} \right) \right) \right|^{2}$$
(6)

wobei T die Abtastperiode des Sendesignals ist und  $G(f)_{
m das}$  Spektrum des Sendepuls. Durch entsprechende Auswahl von

- $\sigma(k)$  können die zulässigen Masken für das Sendespektrum zum Beispiel Ausblendung der POTS-Bänder erreicht werden. Die Wahl des Pulses g(n) ist weniger kritisch, im einfachsten Fall wählt man eine klassische, gut frequenzlokalisierte Fensterfunktion wie zum Beispiel Hamming oder Kaiser, siehe
- W. Kozek und A.F. Molisch, "Nonorthogonal pulseshapes for multicarrier communications in doubly dispersive channels", Oct. 1998, IEEE J. Select. Areas Comm., Vol.16, No. 8, pp.1579-1589.

Seite 126.

15 Im weiteren werden Auschnitte der Länge  $N_{
m aus}$  dem Sendesignal wie folgt betrachtet:

$$s_{m}(n) = s(n - mKN_{T})\chi_{[0,KN_{T}]}(n - mKN_{T})$$
(7)

hierbei steht  $\mathcal{X}_{[0,N]}(n)$  für einen Rechteckpuls mit Amplitude 1 20 und Länge N .

Die Weil-Transformation eines Vektors x(n) der Länge  $N = KN_{\tau}$  ist gegeben durch

$$W_{x}(n,k) = \frac{1}{\sqrt{K}} \sum_{l=0}^{K} x(n+lN_{\tau}) \exp\left(j2\pi \frac{lk}{L}\right)$$

25 (8)

8

sie steht in umkehrbar eindeutiger Beziehung zum Signal (A. Weil, Basic Number Theory, Grundlehren der mathematischen Wissenschaften, Bd. 144, Springer 1985). Physikalisch kann hier m als Zeitindex und k als Frequenzindex interpretiert werden. Grundprinzip des Identifikationsverfahrens ist nun über eine Kreuzkorrelationsanalyse im Weil-Bereich zu einer Schätzung der Weil-transformierten Echo-Impulsantwort zu kommen. Die Kreuzkorrelationsfunktion ist hier definiert als:

10

$$C_{y,s}(m,k) = E\{W_y(n+m,k)\overline{W_s(n,k)}\}.$$

Vorteilhafterweise kann die Weil-Transformierte eines Sendesignalblockes durch zweidimensionale, diskrete 15 Fouriertransformation der Sendekoeffizienten und Multiplikation mit der Weiltransformierten des Sendesignalfensters gebildet werden

$$W_{x\chi[i,i+KN_T]}(m,n) = W_g(m,n).$$

$$\sum_{m=0}^{N_T} \sum_{l=i}^{i+K-1} c_{k,l} \exp\left(-j2\pi\left(\frac{mk}{N_T} + \frac{nl}{K}\right)\right)$$
(10)

Weiters werden Empfangssignalkoeffizienten durch ein

Skalarprodukt mit dem modulierten Empfangssignalfenster wie folgt gebildet:

$$d_{k,l} = \sum_{n=lN_T}^{(l+1)N_T} y(n)\overline{y}(n-lN_T) \exp\left(-j2\pi \frac{nk}{M_F}\right)$$

Daraus kann dann analog die Weiltransformierte des 25 Empfangssignals y(n) analog zu (10) gebildet werden: WO 03/088574

PCT/EP03/03930

9

$$W_{y\chi[i,i+KN_T]}(m,n) = W_{\gamma}(m,n).$$

$$\sum_{m=0}^{N_T} \sum_{l=i}^{i+K-1} d_{k,l} \exp\left(-j2\pi \left(\frac{mk}{N_T} + \frac{nl}{K}\right)\right)$$

Unter der Annahme der Ergodizität des Eingangssignals (nur gerechtfertigt sofern die Periode der beteiligten Pseudozufallssignale grösser als die Messzeit bleibt), kann man die Erwartungswertbildung durch Zeit/Frequenzmittel-wertbildungen ersetzen:

$$\widetilde{C}_{y,s}(m,k) = \frac{1}{N_M K_L} \sum_{n=0}^{N_M} W_y(n,k) \overline{W_{s_m}(n+m,k)},$$

(11)

wobei  $S_m(n)$  den in Glg.(7) beschrieben Sendesignalblock 10 beschreibt.

Das vorgeschlagene Verfahren zur Systemidentifikation eignet sich natürlich auch zur adaptiven Echounterdrückung (echo cancelling), mit den oben beschriebenen Vorteilen der

- Möglichkeit von Ausblendung bestimmter Frequenzbänder, wie beispielsweise in einer der folgenden Literaturstellen beschrieben:
- K. Townsend et al, "Apparatus and method for echo characterization of a communication channel ", US Patent Nr. 5,577,116, Nov. 1996.
- J.P. Agrawal et al, "Adaptive echo cancellation and equalization system signal processor and method therefor", US Patent Nr. 4,760,596, July 1988.
  - S. Wu et al, "Efficient echo cancellation for DMT MDSL", US Patent Nr. 6,072,782, June 2000.

M. Ho et al, "Method and apparatus for echo cancellation with discrete multitone modulation", US Patent Nr. 5,317,596, May 1994.

Die beschriebenen Verfahren zur Systemidentifikation (als Bestandteil eines adaptiven Echo-Cancellers) unterscheiden sich in mehreren Gesichtspunkten vom erfindungsgemäßen Verfahren, zumeist werden Abwandlungen des sogenannten LMS-Algorithmus verwendet oder das klassische Kalmanfilter.

10

Nach der vorliegenden Anwendung zur Vorqualifizierung von Teilnehmeranschlussleitungen für Breitbanddienste geschieht die Auswertung der Weiltransformierten der interessierenden Impulsantwort wie folgt:

15

20

25

Zwar kann bereits ein geübter Betrachter aus Rohdaten (z.B. der Echoimpulsantwort) einige Rückschlüsse auf die Länge einer Leitung bzw. die Art des Abschlusses ziehen, für den Einsatz der vorliegenden Erfindung ist aber eine automatisierte Auswertung vorgesehen, deren Endergebnis die Vorhersage von xDSL-Performance ist(``reach prediction'').

Etwaige additive Störungen die für die Ermittlung der xDSL-Performance unter Umständen relevant sind, können direkt aus den ohnehin schon ermittelten Empfangssignalkoeffizienten durch Erwartungswertbildung über den Zeitindex gebildet werden:

$$S_{noise,k} = E_l \left\{ \left| d_{l,k} \right|^2 \right\}$$

Die dabei gewählte Vorgangsweise besteht nun darin, ausgehend von gemessenen Rohdaten (komplexe Zahlen) eine multidimensionale Tabelle anzulegen, die durch relevante physikalische Grössen parametrisiert ist (z.B. Leitungslänge und Abschluss).

20

25

11

Im folgenden wird die Vorgangsweise für die Parameter Leitungslänge und Abschluss beschrieben, die Auswertung könnte aber konzeptuell analog auch auf andere Zwischenparameter abzielen.

Die Rohdaten  $\widetilde{W}_{h}(p,q)$  werden mit als Tabellenvektoren  $T^{(k,m)}(p,q)$  dargestellten Werten von gemessenen Referenzleitungen verglichen und es werden jene Indizes ausgewählt, die die kleinste absolute Abweichung (im Sinne komplexer Zahlen aufweisen):

$$(k_{opt}, l_{opt}) = \underset{k,l}{\operatorname{arg min}} \sum_{q} \sum_{p} \left| T^{(k,l)}(p,q) - \widetilde{W}_{h}(p,q) \right|$$

Aus diesem Vergleich kann damit direkt auf die physikalischen 15 Eigenschaften der zu messenden Teilnehmeranschlußleitung geschlossen werden.

Hierbei entspricht der Index k der beispielhaften
Implementation folgend einem Widerstandswert des Abschlusses
und der Index l einer Leitungslänge. Um die Auflösung des
Messverfahrens zu erhöhen, erweist es sich als vorteilhaft
nach dieser Optimierung eine komplexe Interpolation
anzuschliessen. Diese kann mit den üblichen Verfahren zur
multidimensionalen Interpolation durchgeführt werden, wie sie
z.B. in W.H. Press, B.P. Flannery, S.A. Teukolsky, W.T.
Vetterling, "Numerical Recipes in C", Cambridge University
Press, Cambridge 1993 beschrieben sind.

Die letztendlich interessierenden xDSL Parameter (zu erwartende Datenübertragungsrate) können dann durch eine einfache Tabellensuche gewonnen werden.

12

Eine Kalibrierung des Messsystems ist dann zweckmäßig, wenn z.B. bei langen Leitungslängen das interne Echo der Messanordnung typischerweise wesentlich stärker sein wird als das charakteristische Echo vom Ende das Kabels. Beim Ausführungsbeispiel ist eine automatische Kalibrierung durch Anschaltung digital steuerbarer Leitungssimulatoren bzw. Widerstandsdekaden durchführbar.

10

#### Patentansprüche

1. Die Erfindung betrifft ein Verfahren zur Vorqualifizierung von Teilnehmeranschlussleitungen für Breitbanddienste mit folgenden Verfahrensschritten:

- an einen Testpunkt der Teilnehmeranschlußleitung wird ein gemäß  $s(n) = \sum_{k=0}^{M} \sum_{l=0}^{N} c_{k,l} g(n-lN_T) \exp \left( j2\pi \frac{nk}{M_F} \right)$  gebildetes

zeitdiskretes Multiträger-Sendesignal angelegt,

- die Echoimpulsantwort y(n, der Teilnehmeranschlußleitung wird an dem Testpunkt gemessen,
  - aus der Echoimpulsantwort werden zweite komplexwertige Zufallskoeffizienten  $d_{k,1}$  gemäß

$$d_{k,l} = \sum_{n=(l-1)N_T}^{n=(l+1)N_T} y(n)\gamma(n-lN_T) \exp\left(-j2\pi \frac{nk}{M_F}\right)$$

ermittelt,

10

- der empirische Schätzwert der Kreuzkorrelationsfunktion  $\widetilde{W}_{_h}(p,q)$  der aus den Indizes  $c_{k,l}$  und  $d_{k,l}$  durch zweidimensionale diskrete Fouriertransformation gebildeten Signale

$$C_{m,n}^{(i)} = \sum_{m=0}^{N_T} \sum_{l=i}^{i+K-1} c_{k,l} \exp \left(-j2\pi \left(\frac{mk}{N_T} + \frac{nl}{K}\right)\right)$$

$$D_{m,n}^{(i)} = \sum_{m=0}^{N_T} \sum_{l=i}^{i+K-1} d_{k,l} \exp\left(-j2\pi\left(\frac{mk}{N_T} + \frac{nl}{K}\right)\right)$$

gemäß (wobei  $0<\lambda<1$  ein Vergessensfaktor ist, der an die gesamte Mittelungslänge der Messung entsprechend der Rechengenauigkeit des verwendeten Prozessors zu wählen ist)

$$K_{m,k}^{(i+1)} = (1-\lambda)K_{m,k}^{(i)} + \lambda C_{m+n,k}^{(i)} W_g(m+n,k)\overline{D}_{m,n}^{(i)}\overline{W}_{\gamma}(m,k)$$
 wird ermittelt,

14

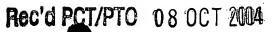
und analog zur Schätzung der Kreuzkorrelationsfunktion eine Schätzung des Leistungsdichtespektrums etwaiger Störsignale entsprechend

$$S_{noise,k}^{(i+1)} = (1 - \lambda) S_{noise,k}^{(i)} + \lambda \left| d_{i,k} \right|^{2}$$

5 durchgeführt,

- der empirische Schätzwert der Kreuzkorrelationsfunktion  $\widetilde{W}_{{}_{h}}(p,q)$  wird mit den gespeicherten Werten von gemessenen  $T^{(k,m)}(p,q)$  verglichen, und aus dem Vergleich werden die physikalischen Parameter der Teilnehmeranschlußleitung ermittelt.

10





## INTERNATIONAL SEARCH REPORT

Internatic pplication No PCT/EP 03/03930

A. CLASSII IPC 7	FICATION OF SUBJECT MATTER H04L12/26 H04B3/46 G01R31/0	0							
According to international Patent Classification (IPC) or to both national classification and IPC									
B. FIELDS	SEARCHED								
Minimum documentation searched (classification system followed by classification symbols) IPC 7 H04L H04B G01R									
Documentation searched other than minimum documentation to the extent that such documents are included in the fields searched									
Electronic d	ata base consulted during the international search (name of data base	se and, where practical, search terms used	)						
EPO-Internal, WPI Data, PAJ, INSPEC									
C. DOCUM	ENTS CONSIDERED TO BE RELEVANT								
Category °	Citation of document, with indication, where appropriate, of the rele	evant passages	Relevant to claim No.						
X	JONES, W.W.; JONES, K.R.: "Seque domain Reflectomety (STDR) for Di Subscriber Line provisioning and diagnostics" WHITE PAPER, 'Online! 2001, XPOO Retrieved from the Internet: <url:http: 'iii.b!<="" 'retrieved="" 2003-06-30!="" application="" cited="" com="" data="" in="" on="" paragraph="" rlist?t="soft_10_100_50_1" td="" techlibrary.wallstree="" the=""><td>gital 2203227 tandtech.</td><td>1</td></url:http:>	gital 2203227 tandtech.	1						
Furth	ner documents are listed in the continuation of box C.	Patent family members are listed	In annex.						
*T' later document published after the International filing date or priority date and not in conflict with the application but obtaining the general state of the art which is not considered to be of particular relevance that published on or after the international filing date.  *E' earlier document but published on or after the international filing date.  *L' document which may throw doubts on priority claim(s) or which is cited to establish the publication date of another diation or other special reason (as specified).  *O' document published after the international filing date but later than the priority date and not in conflict with the application but cited to understand the principle or theory underlying the or priority date and not in conflict with the application but cited to understand the principle or theory underlying the or priority date and not in conflict with the application but cited to understand the principle or theory underlying the or priority date and not in conflict with the application but cited to understand the principle or theory underlying the or priority date and not in conflict with the application but cited to understand the principle or theory underlying the considered to understand the principle or theory underlying the considered to understand the principle or theory underlying the cited to understand the principle or theory underlying the cited to understand the principle or theory underlying the cited to understand the principle or theory underlying the cited to understand the principle or theory underlying the cited to understand the principle or theory underlying the cited to understand the principle or theory underlying the cited to understand the principle or theory underlying in the cited to understand the principle or theory underlying the cited to understand the principle or theory underlying the cited to understand the principle or theory underlying the cited to understand the principle or theory underlying the cited to understand the principle or theory underlying the									
Date of the	actual completion of the international search	Date of mailing of the international sea	arch report						
	0 June 2003	04/07/2003							
Name and n	nalling address of the ISA European Patent Office, P.B. 5818 Patentlaan 2	Authorized officer							
	NL - 2280 HV Rijswijk Tel. (+31-70) 340-2040, Tx. 31 651 epo ni, Fax: (+31-70) 340-3016	Farese, L	Farese, L						



Internati \* Aktenzeichen
PCT/EP 03/03930

A. KLASSIFIZIERUNG DES ANMELDUNGSGEGENSTANDES IPK 7 H04L12/26 H04B3/46 G01R31/00									
Nach der Internationalen Patentklassifikation (IPK) oder nach der nationalen Klassifikation und der IPK									
B. RECHE	RCHIERTE GEBIETE								
Recherchierter Mindostprüfstoff (Klassifikallonssystem und Klassifikallonssymbole) IPK 7 H04L H04B G01R									
Recherchlerte aber nicht zum Mindestprüfstoff gehörende Veröffentlichungen, soweil diese unter die recherchlerten Gebiete fallen									
Während de	r internationalen Recherche konsultierte elektronische Datenbank (N	ame der Datenbank und evtl. verwendete S	Suchbegriffe)						
EPO-Internal, WPI Data, PAJ, INSPEC									
C. ALS WE	SENTLICH ANGESEHENE UNTERLAGEN								
Kategorie*	Bezeichnung der Veröffenllichung, soweit erforderlich unter Angabe	e der in Betracht kommenden Telle	Betr. Anspruch Nr.						
X	JONES, W.W.; JONES, K.R.: "Seque domain Reflectomety (STDR) for Di Subscriber Line provisioning and diagnostics" WHITE PAPER, 'Online! 2001, XPOO Gefunden im Internet: <url:http: 'gefunden="" 'iii.b!<="" 2003-06-30!="" absatz="" am="" anmeldung="" data="" der="" erwähnt="" in="" rlist?t="soft_10_100_50_1" td="" techlibrary.wallstreecom=""><td>gital 2203227 standtech.</td><td></td></url:http:>	gital 2203227 standtech.							
	ere Veröffentlichungen sind der Fortsetzung von Feld C zu ehmen	Siehe Anhang Patentfamille							
*Besondere Kategorien von angegebenen Veröffentlichungen :  'A' Veröffentlichung, die den allgemeinen Stand der Technik definiert, aber nicht als besonders bedeulsam anzusehen ist inder in eine pokument, das jedoch erst am oder nach dem internationalen Anmeldedatum veröffentlicht worden ist in eine manderen in Recherchenbericht genannten Veröffentlichungsdatum einer scheinen zu lassen, oder durch die das Veröffentlichungsdatum einer scheinen zu lassen, oder durch die das Veröffentlichungsdatum einer scheinen zu lassen, oder durch die das Veröffentlichung belegt werden soll oder die aus einem anderen besonderen Grund angegeben ist (wie ausgeführt)  'O' Veröffentlichung, die sich auf eine mündliche Offenbarung, eine Benutzung, eine Ausstellung oder andere Maßnahmen bezieht in Benutzung eine Ausstellung eine Ausstellung eine Benutzung eine Ausstellung eine A									
Datum des Abschlusses der internationalen Recherche  Absendedatum des internationalen Recherchenberichts  30. Juni 2003  04/07/2003									
	Postanschrift der Internationalen Recherchenbehörde	Bevollmächtigter Bediensteter	<del></del>						
	Europäisches Patentamt, P.B. 5818 Patentiaan 2 NL - 2280 HV Rijswijk Tel. (+31-70) 340-2040, Tx. 31 651 epo nl, Fax: (+31-70) 340-3016	Farese, L							